

يا صاحب القبة البيضاء  
يا صاحب القبة البيضاء في النجف  
من زار قبرك واستشضى لديك شفي  
زوروا أبا الحسن الهادي لعلكم  
تحظون بالأجر والاقبال والرزف  
زوروا من تسمع النجوى لديه فمن  
يُزره بالقبر ملهوفا لديه كفى  
إذا وصل فاحرم قبل تدخله  
ملبياً واسع سعيها حوله وطف  
حتى اذا طفت سبعاً حول قبته  
تأمل الباب تلقى وجهه فتف  
وقل سلام من الله السلام على  
أهل السلام وأهل العلم والشرف





السنة الثالثة / العدد السادس  
سبتمبر ١٤٤٦هـ - ٢٥ أيار ٢٠١٥م

كلية  
البحوث والدراسات الإنسانية

فصلية تُعنى بالبحوث والدراسات الإنسانية

فصلية تُعنى بالبحوث والدراسات الإنسانية والاجتماعية العدد (٧)

السنة الثالثة ذوالقعدة ١٤٤٦ هـ آيار ٢٠٢٥ م

تصدر عن دائرة البحوث والدراسات في ديوان الوقف الشيعي

### المشرف العام

عمار موسى طاهر الموسوي  
مدير عام دائرة البحوث والدراسات



### الدقيق اللغوي

أ.م.د. علي عبد الوهاب عباس  
الشخص / اللغة والنحو  
جامعة المستنصرية / كلية التربية الأساسية  
**الترجمة**  
أ.م.د. رائد سامي مجید  
الشخص / لغة إنكليزية  
جامعة الإمام الصادق (عليه السلام) كلية الآداب

### رئيس التحرير

أ.د. سامي حمود الحاج جاسم  
الشخص / تاريخ إسلامي  
جامعة المستنصرية / كلية التربية

### مدير التحرير

حسين علي محمد حممن  
الشخص / لغة عربية وأدبها  
دائرة البحوث والدراسات / ديوان الوقف الشيعي  
**هيئة التحرير**

أ.د. علي عبد كنو

الشخص / علوم قرآن / تفسير  
جامعة ديالى / كلية العلوم الإسلامية

أ.د. علي عطية شرقى

الشخص / تاريخ إسلامي  
جامعة بغداد / كلية التربية ابن رشد

أ.م.د. عقيل عباس الريكان

الشخص / علوم قرآن / تفسير  
جامعة المستنصرية / كلية التربية الأساسية

أ.م.د. أحمد عبد خضر

الشخص / فلسفة

جامعة المستنصرية / كلية الآداب

أ.م.د. نورا صقر يخشى

الشخص / أصول الدين

جامعة بغداد / كلية العلوم الإسلامية

أ.م.د. طارق عودة موري

الشخص / تاريخ إسلامي

جامعة بغداد / كلية العلوم الإسلامية

### هيئة التحرير من خارج العراق

أ.د. منها خير بك تاصر

الجامعة اللبنانية / لبنان / لغة عربية .. لغة

أ.د. محمد خاقاني

جامعة اصفهان / ايران / لغة عربية .. لغة

أ.د. خولة خميري

جامعة محمد الشريف / الجزائر / حضارة وأديان .. أدیان

أ.د. نور الدين أبو لحمة

جامعة باتنة / كلية العلوم الإسلامية / الجزائر

علوم قرآن / تفسير

فصلية تُعنى بالبحوث والدراسات الإنسانية والاجتماعية  
العدد (٧) السنة الثالثة ذو القعدة ١٤٤٦ هـ آيار ٢٠٢٥ م  
تصدر عن دائرة البحوث والدراسات في ديوان الوقف الشيعي

### العنوان المُوْقِعِي

مجلة القبة البيضاء

جمهورية العراق

بغداد / باب المعظم

مقابل وزارة الصحة

دائرة البحوث والدراسات

### الاتصالات

مدير التحرير

٠٧٧٣٩١٨٣٧٦١

صندوق البريد / ٣٣٠٠١

الرقم المعياري الدولي

**ISSN3005\_5830**

### رقم الإيداع

في دار الكتب والوثائق (١١٢٧)

لسنة ٢٠٢٣

البريد الإلكتروني

إيميل

**off reserch@sed.gov.iq**

**hus65in@gmail.com**



الرقم المعياري الدولي  
**(3005-5830)**

## دليل المؤلف.....

- ١- إن يرسم البحث بالأصلية والجادة والقيمة العلمية والمعرفية الكبيرة وسلامة اللغة ودقة التوثيق.
- ٢- إن تحوّي الصفحة الأولى من البحث على:
  - أ- عنوان البحث باللغة العربية .
  - ب- اسم الباحث باللغة العربية . و درجه العلمية وشهادته.
  - ت. بريد الباحث الإلكتروني.
  - ث. ملخصان أحدهما باللغة العربية والأخر باللغة الإنكليزية.
  - ج. تدرج مفاتيح الكلمات باللغة العربية بعد الملخص العربي.
- ٣-أن يكون مطبوعاً على الحاسوب بنظام (**Word**) او (٢٠٠٧) (٢٠١٠) وعلى قرص ليرزي مدمج (**CD**) على شكل ملف واحد فقط (أي لا يُجزأ البحث بأكثر من ملف على القرص) وترتّد هيئة التحرير بذات نسخ ورقية وتوضع الرسوم أو الأشكال، إن وُجدت، في مكانها من البحث، على أن تكون صالحة من الناحية الفنية للطباعة.
- ٤-أن لا يزيد عدد صفحات البحث على (٢٥) خمسة وعشرين صفحة من الحجم (A4).
٥. يلتزم الباحث في ترتيب وتنسيق المصادر على الصيغة **APA**
- ٦-أن يلتزم الباحث بدفع أجور النشر المحددة البالغة (٧٥،٠٠٠) خمسة وسبعين ألف دينار عراقي، أو ما يعادتها بالعملات الأجنبية.
- ٧-أن يكون البحث خالياً من الأخطاء اللغوية والنحوية والإملائية.
- ٨-أن يلتزم الباحث بالخطوط وأحجامها على النحو الآتي:
  - أ- اللغة العربية: نوع الخط (**Arabic Simplified**) وحجم الخط (١٤) للعنوان.
  - ب. اللغة الإنكليزية: نوع الخط (**Times New Roman**) وحجم الخط (١٦). أما فقرات البحث الأخرى؛ فيحجم (١٤) .
  - ٩-أن تكون هواش البحث بالنظام التلقائي (تعليقات خارجية) في نهاية البحث. حجم ١٢ .
  - ١٠- تكون مسافة الحواش الخارجية (٤،٥،٦) سم ومسافة بين الأسطر (١) .
  - ١١-في حال استعمال برنامج مصحف المدينة للأيات القرآنية يتحمل الباحث ظهور هذه الآيات المباركة بالشكل الصحيح من عدمه، لهذا يفضل النسخ من المصحف الإنكليزي المتوفر على شبكة الانترنت.
  - ١٢- يبلغ الباحث بقرار صلاحية النشر أو عدمها في مدة لا تتجاوز شهرين من تاريخ وصوله إلى هيئة التحرير.
  - ١٣- يلتزم الباحث بإجراء تعديلات الحكيمين على بحثه وفق التقارير المرسلة إليه وموافقة الجهة بنسخة معدلة في مدة لا تتجاوز (١٥) خمسة عشر يوماً.
  - ١٤- لا يحق للباحث المطالبة بمتطلبات البحث كافة بعد مرور سنة من تاريخ النشر.
  - ١٥- لاتعد البحوث إلى أصحابها سواء قبلت أم لم تقبل.
  - ١٦- دمج مصادر البحث وهوامشه في عنوان واحد يكون في نهاية البحث، مع كتابة معلومات المصدر عندما يرد لأول مرة.
  - ١٧- يخضع البحث للتقويم السري من ثلاثة خبراء لبيان صلاحيته للنشر.
  - ١٨- يتشرط على طلبة الدراسات العليا فضلاً عن الشروط السابقة جلب ما يثبت موافقة الاستاذ المشرف على البحث وفق المعايير المعتمدة في الجهة.
  - ١٩- يحصل الباحث على مسئلل واحد لبحثه، ونسخة من الجلة، وإذا رغب في الحصول على نسخة أخرى فعليه شراؤها بسعر (١٥) ألف دينار.
  - ٢٠- تعبّر الأبحاث المنشورة في الجلة عن آراء أصحابها لا عن رأي الجلة.
  - ٢١- ترسل البحوث على العنوان الآتي: ( بغداد - شارع فلسطين المركز الوطني لعلوم القرآن ) أو البريد الإلكتروني: ([hussein@Gmail.com](mailto:hussain@Gmail.com)) بعد دفع الأجر في الحساب المصرفي العائد إلى الدائرة.
  - ٢٢- لا تلتزم الجلة بنشر البحوث التي تخلّ بشرط من هذه الشروط .



**مجلة اجتماعية فصلية تصدر عن دائرة البحوث والدراسات في ديوان الوقف الشعبي**  
**محتوى العدد (٧) ذو القعدة ١٤٤٦ هـ آيار ٢٠٢٥ م الجلد الخامس**

| ن  | عنوانات البحوث   | اسم الباحث  | ص   |
|----|--|---|-----|
| ١  | مروسيم الدفن والعزاء في مصر المملوكية (٦٤٨ - ٩٢٣ / ١٢٥٠ - ١٥١٧)  | أ.د. ياقوت عيدان لويس   | ٨   |
| ٢  | أصول قراءة ابن كثير بروايات (البرى وقبل) العماد الدين الاستاذي كان حجاً سنه ٩٦٥هـ تحقيق ودراسة                       | أ.م.د. حكيم موحان عواد<br>م. زين العابدين أحمد عبد الصاحب                         | ٢٦  |
| ٣  | المصادرات السياسية بين الأسرة الخوارجية الحاكمة وبعدها أمراء المسلمين في العصور العباسية آخر نزوة                    | أ.م.د. عكاب يوسف جمعة   | ٣٦  |
| ٤  | الجزء الإلهي للعبادتأثير الأعمال في الدارسين دراسة عقائدية   | أ.م.د. اركان على حسن  | ٥٨  |
| ٥  | تأثير استراتيجية حلقة الحكم في التحصيل عند طالبات الصف الأول متوسط في مادة الاجتماعيات                               | أ.م.د. علاء ابراهيم سرحان<br>أ.م.د. سهاد علي عبد الحسين<br>الباحثة ديان ضياء هاشم | ٧٨  |
| ٦  | المبان التفسيرية اللغوية عرض وتطبيق  | الباحث. أحمد رزاق فاضل  | ٩٢  |
| ٧  | دور أسلوب الحوار والمناقشة في تعزيز الفهم التاريخي النبدي  | الباحثة. مني ياسر محسن  | ١٠٤ |
| ٨  | سورة البينة دراسة وتحليل   | الباحثة: آمال أحمد حسين علي   | ١٢٠ |
| ٩  | نشأة السيدة زينب (عليها السلام) النسب، الأسماء، اللقب، الأسرة  | الباحث: خالد جاسم محمد سلمان<br>أ.م. د. عبد هادي فريح                             | ١٢٨ |
| ١٠ | الصيحات من الأنصار ودورهن في الإسلام   | م. د سعاد سليم عبد الله   | ١٣٦ |
| ١١ | الذات الأخلاقية وعلاقتها بالصفات عند المتكلمين بدلالة العقل والنقل   | الباحث: زيدون مؤيد عباس الزغاصي   | ١٤٨ |
| ١٢ | تأثير استخدام استراتيجية آخر بطاقة الدلالية في تحسين مهارة سرعة القراءة الجهرية لدى التلاميذ ذوي صعوبات التعلم       | م. اسماويل عبدال حسو مصطفى  | ١٧٠ |
| ١٣ | تأثير المفهوم ايدجيا في التحصيل والتفكير المستقبلي لدى طلبة قسم التربية الفنية في مادة الإنشاء التصوري               | م. د. أفراد سكي عباس الجبورى  | ١٨٨ |
| ١٤ | دلالة المكان وأثارها في رواية "مسى"  | م. د. ثامر ناصر على العبادي   | ٢٠٢ |
| ١٥ | تحليل جغرافي لأثر العناصر الطبيعية على اعراض محصول القمح في محافظة الانبار للفترة ١٩٨٣-٢٠٢٣ (دراسة في المذاق الطيفي) | م. د. عمر ناجي عمير   | ٢٢٤ |
| ١٦ | مقال مراجعة في كتاب سياسة المملكة العربية السعودية الخارجية في النطاق المغاربي للدكتور فهد عامر سليمان               | م. د. ومن صاحب عيدان  | ٢٣٦ |
| ١٧ | تقييم تأثير العوائق الغبارية على جودة الهواء في محافظتي ميسان وذي قار باستخدام MODIS AOD                             | م. د. أحمد غازي مفتاح   | ٢٤٢ |
| ١٨ | السيد عبد الأعلى السبزواري وكتابه مواهب الرحمن   | م. د. كرار خليل هويدي<br>أ.د. مهند محمد صالح عطية                                 | ٢٥٨ |
| ١٩ | صورة الوالدان في الامثال الشعبية العراقية  | م.م. جنان عدنان حسين<br>أ.م. د. خالد جعوهش ساجت                                   | ٢٦٨ |
| ٢٠ | صفات العدل الإلهي وفلسفته  | م.م. ميلاد عزت عبدالله الموسوي  | ٢٨٠ |
| ٢١ | تطور الخصائص التحومية في اللغويات النظرية دراسة تغيرات النظام الصرفي التحومي   | م.م. مazine عوين سليم   | ٢٩٦ |
| ٢٢ | تأثير تقييمات الذكاء الاصطناعي في تحسين استراتيجيات إدارة الموارد البشرية في الشركات الناشئة                         | الباحث: محسن خلف نايف   | ٣١٦ |



تقييم تأثير العواصف الغبارية على جودة الهواء  
في محافظة ميسان وذي قار  
**MODIS AOD**

م.د.أحمد غازي مفون  
جامعة البصرة / كلية الآداب

المستخلص:

هدف هذه الدراسة إلى تحليل تأثير زيادة توادر وشدة العواصف الغبارية على جودة الهواء في محافظتي ميسان وذي قار العراقيتين، باستخدام دمج بيانات الاستشعار عن بعد (مؤشر MODIS AOD) مع القياسات الأرضية لتركيزات الجسيمات الدقيقة (PM<sub>2.5</sub> و PM<sub>10</sub>) . ويفترض البحث أن هناك علاقة واصحة بين ارتفاع قيم مؤشر AOD وزيادة تركيزات الجسيمات الدقيقة، وتناثر هذه العلاقة بعوامل متعددة بما في ذلك وأنماط استخدام الأرضي وسرعة الرياح ودرجة التصحر. وقد اعتمدت الدراسة منهجيات متعددة بما في ذلك التحليل الاحصائي (خادج الانحدار ومعاملات الارتباط)، والتتمثل الخرائطي عبر نظم المعلومات الجغرافية، وتحليل المكونات الرئيسية لتفسير التفاعلات بين العوامل المناخية والبشرية، فضلاً عن مقارنة البيانات المكانية بالقياسات الميدانية. وتكمّن أهميته في سد الفجوة المعرفية حول آليات تشكيل العواصف الغبارية وتاثيراتها، وتوفير خرائط مخاطر داعمة لصناعي القرار، على الرغم من محدودية تغطية المناطق المتجلورة والمدقة المكانية لبيانات نظام MODIS (١٠ كم مربع/بكسل)، والتي لا يمكنها الكشف عن المصادر الخفية للغبار. وتساهم النتائج في تطوير خادج تنبؤية دقيقة للتخفيف من الآثار الصحية والاقتصادية لهذه الظاهرة في المناطق القاحلة.

**الكلمات المفتاحية:** العواصف الغبارية، جودة الهواء ، غواص (MODIS AOD)، مؤشر الغطاء النباتي (NDVI)، النماذج التنبؤية.

**Abstract:**

This study aims to analyse the impact of increasing frequency and severity of dust storms on air quality in the Iraqi governorates of Maysan and Dhi Qar, using the fusion of remote sensing data (MODIS AOD index) with ground-based measurements of fine particulate matter (PM<sub>2.5</sub> and PM<sub>10</sub>) concentrations. The research hypothesises that there is a clear correlation between higher AOD values and increased particulate matter concentrations, with this relationship being influenced by factors such as topography, land use patterns, wind speed, and the degree of desertification. The study adopted multiple methodologies including statistical analysis (regression models, correlation coefficients), cartographic representation via Geographic Information Systems (GIS), principal component analysis to explain the interactions between climatic and human factors, as well as comparing spatial data with field measurements. Its importance lies in bridging the knowledge gap on the mechanisms of dust storm formation and impacts, and providing supportive risk maps for decision makers, despite its limitations in covering neighbouring areas



and the spatial resolution of MODIS data ( $10 \text{ km}^2/\text{pixel}$ ), which cannot detect small local sources of dust. The results contribute to the development of accurate predictive models to mitigate the health and economic impacts of this phenomenon in arid regions

**Keywords:** Dust storms, air quality, MODIS AOD, NDVI, predictive modelling

#### المقدمة :

تعمل العواصف الرملية والتربوية تحديداً بيئياً وصحياً متزايداً في المناطق القاحلة وشبه القاحلة، لا سيما في محافظتي ميسان وذي قار في جنوب العراق، حيث أدت العوامل المترابطة المختلطة في التصحر وتغير أنشطة الطقس والأنشطة البشرية المكثفة التي ترعرع استقرار البيئة إلى ارتفاع معدل حدوث الظواهر الرملية والغبار الشديد والتدحرج السريع في جودة الهواء. هذه ليست مجرد اضطرابات مناخية عابرة، بل هي أحداث كارثية يمكن أن تؤدي إلى تفاقم أمراض الجهاز التنفسى والقلب والأوعية الدموية والنظم الإيكولوجية الهشة والقطاعات الاقتصادية الهامة مثل الزراعة والصناعة، مما يؤثر على الصحة العامة. في هذا السياق، بعد استخدام تقنيات الاستشعار عن بعد، وخاصة بيانات مقياس الطيف الضوئي متوسط الدقة (MODIS) لقياس العمق البصري للهواء (AOD)، أداة علمية مهمة لتقييم آثار هذه العواصف بدقة مكانية وزمانية عالية، حيث توفر رؤية شاملة للتوزيع الهباء الجوي وتركيزه، متحاورة بذلك قيود الخطط الأرضية في المناطق ذات البنية التحتية الضعيفة للرصد البيئي. تهدف هذه الدراسة إلى تحليل الأنماط المكانية والزمانية للعواصف الغبارية من خلال ربط قيم نظام MODIS AOD بمؤشرات جودة الهواء الأخلاقية، وتحديد العوامل الجغرافية والمناخية التي تساهم في شدة العواصف الغبارية في هاتين المقاطعتين، وتوفير إطار تحليلي لدعم صانعي القرار في تطوير استراتيجيات التخفيف متعددة الأبعاد، وتعزيز الفهم العلمي للتفاعل بين الغلاف الجوي والأرض في سياق تغير المناخ والضغوط البيئية المتزايدة.

#### شكلة البحث :

المشكلة الرئيسية في هذه الدراسة هي زيادة تواتر وشدة العواصف التربوية في محافظة ميسان وذي قار وما يرتبط بها من تدهور حاد في جودة الهواء، مما يهدد الصحة العامة وبعد الأنشطة الاقتصادية والاجتماعية. إن الافتقار إلى دراسات شاملة تربط بين البيانات الفضائية الحديثة، مثل مؤشر العمق البصري الخ้อมول جوأ (MODIS) مع قياسات جودة الهواء الأرضية في هاتين المنطقتين، يعيق فهم الآليات الدقيقة لتشتت الجسيمات الدقيقة وأثارها التراكبية. بالإضافة إلى ذلك، يتفاقم الافتقار إلى استراتيجيات فعالة للكشف المبكر والشخصيف من حدة المشكلة بسبب عوامل جغرافية (على سبيل المثال، التعرية الريحية في المناطق القاحلة) وعوامل مناخية (على سبيل المثال، الخفاض العصاء البيئي وارتفاع درجات الحرارة).

#### فرضية البحث :

تشمل فرضية البحث في وجود ارتباط كبير بين القيم العالية لبيانات AOD المستمدّة من نظام MODIS وزنادة تركيز  $\text{PM}_{2.5}$  (١) تعكس البيانات المكانية والزمانية في شدة تأثيرات زيادة تركيزات  $\text{PM}_{2.5}$  و

**PM10** الخémول جواً في محافظتي ميسان وذي قار أثناء العواصف الغبارية عوامل مختلفة، مثل التضاريس، أخطاء استخدام الأراضي، البيانات في سرعة الرياح واتجاهها، درجة التصحر. وتفترض الدراسة أن تحليل هذه العلاقات ميساعد على تطوير خارطة تنبؤية دقيقة لعواقب العواصف الغبارية.

#### أهمية البحث :

تكمّن أهمية هذه الدراسة في أنها تقدم أحد التحليلات الأولى التي تجمع بين تقنيات الاستشعار عن بعد والبيانات الميدانية لتقدير تأثير العواصف الغبارية على جودة الهواء في المنطقة التي تعتبر من المناطق الساخنة عالمياً للعواصف الغبارية. ويتمثل الأساس المنطقي العلمي للدراسة في سد الفجوة المعرفية حول الآليات التي تولد من خلالها التفاعلات بين المناخ والبيئة العواصف الغبارية والعواصف الرملية، في حين أن الأساس المنطقي التطبيقي هو توفير خارطة مخاطر داعمة لصانعي السياسات البيئية والصحية. بالإضافة إلى ذلك، تبرر الدراسة نهجها من خلال ثلاث ركائز:

- (أ) الاعتماد على بيانات عالية الدقة تعطي نطاقات زمنية أطول.
- (ب) تحليلات متعددة المتغيرات تجسد التفاعلات المعقدة بين مكونات النظام البيئي.
- (ج) تطبيق إطار عمل يمكن توسيعه ليشمل مناطق ذات ظروف مناخية مماثلة.

#### مناهج البحث :

اعتمدت الدراسة فجأة مختلطًا يجمع بين التحليلات الكمية وال النوعية، بما في ذلك .

(١) **المنهج الإحصائي**: من خلال تحليل بيانات **MODIS AOD** الرقمية الخاصة بنظام **AOD** وربطها بمؤشرات **PM** باستخدام خارج الانحدار الخطى والمتمدد، وحساب معاملات الارتباط (كاپرسون وسپيرمان) لتأكيد العلاقات السببية.

(٢) **المنهج الكارتوغرافي** : من خلال تحليل التوزيعات المكانية للعواصف الغبارية وتركيزات القدرة المدرية المنظيرية على خارطة طبقية باستخدام نظم المعلومات الجغرافية (**GIS**)، مع دمج طبقات بيئية مثل الغطاء النباتي (**NDVI**) واستشعار التصحر.

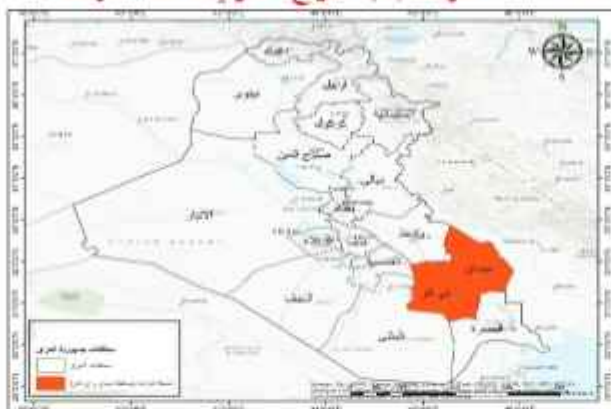
(٣) **المنهج التحليلي** : الذي ركز على تفسير التفاعلات الديناميكية بين المتغيرات المناخية (سرعة الرياح والرطوبة) والعامل البشرية (التحضر والنشاط الزراعي) من خلال تحليل المكونات الرئيسية (٤) المنهج المقارن: من خلال مقارنة بيانات الأقمار الصناعية مع القياسات الأرضية (إن وجدت) لفترات زمنية مختلفة وتقييم التباين الجغرافي في شدة العواصف بين محافظتي ميسان وذي قار، مما سمح بتحديد الأخطاء السائدة وتقييم دقة التساؤج المستخدمة.

#### حدود البحث :

ركزت الدراسة على النطاق الإداري لمحافظي ميسان وذي قار كحدود مكانية رئيسية، دون توسيع النطاق ليشمل المناطق العراقية أو الإقليمية المجاورة التي قد تسهم في تفاقم ظاهرة الغبار، مثل الصحاري الجنوبية أو المناطق الحدودية مع إيران. كما لم تشمل التحليلات أيضاً البيانات الداخلية داخل كل محافظة، مثل التباين بين المناطق الحضرية (مثل مراكز المحافظات) والمناطق الريفية أو شبه الصحراوية، والتي تختلف في معدلات التعرية الريحية والغطاء الأرضي. بالإضافة إلى ذلك، قللت الدقة المكانية لبيانات نظام **MODIS** من

**AOD** (١٠ كم مربع لكل بكسل) من القدرة على اكتشاف البؤر المحلية الصغيرة المولدة للغبار، مثل الأراضي الزراعية المهجورة أو المسطحات الطينية الجافة، والتي قد تكون مصادر مكثفة للجسيمات العالقة.

#### الخريطة (٩): الموقع الجغرافي لمحلقة الدراسة



المصدر: جمهورية العراق وزارة الموارد المائية ، خريطة جمهورية العراق لعام ٢٠٢٢ مقياس ١ / ٥٠,٠٠٠

#### أولاً: بيانات **MODIS AOD** واستخدامه في قياس جودة الهواء

تقليل بيانات **MODIS** للعمق البصري المحمول جواً (**AOD**) حجر الزاوية في تقييم تلوث الهواء الناجم عن الجسيمات العالقة، وذلك بقياس كثافة الهباء الجوي استناداً إلى تفاعلاته مع الإشعاع الكهرومغناطيسي عبر الأطوال الموجية المرئية (٤٧٠-٦٦٠ ميكرومتر) والأشعة تحت الحمراء (٨٦٠-٢١٣ ميكرومتر)، مما يتيح التمييز الدقيق بين أنواع الهباء الجوي (الغبار المعدني، الكربون العضوي، السواد). ٤٧٠-٦٦٠ ميكرومتر) والأشعة تحت الحمراء (٨٦٠-٢١٣ ميكرومتر)، مما يتيح التمييز الدقيق بين أنواع الهباء الجوي (الغبار المعدني، الكربون العضوي، السواد) وفقاً لخصائصها البصرية. وفي محافظتي ميسان وذي قار، تُستخدم هذه البيانات لرصد الديناميكيات المكانية والزمانية للعواصف الغبارية من خلال المعالجة اليومية لصور الأقمار الصناعية بواسطة خوارزميات متخصصة (مثل الإصدار ٦ من برنامج **Deep Blue**، المصمم خصيصاً للاستعمال مع السطوح العالية للأسطح الصحراوية، مما يقلل من التحيز في التقديرات الناجمة عن العوامل النزرة الجافة). يمكن ربط قيم **AOD** العالية (<١٠) بتركيزات **PM<sub>10</sub>** التي تتجاوز ٥٠٠ ميكروغرام/متر مكعب خلال ذروة الغبار، وفقاً لمعادلات المعابر المستمدّة من الدراسات السابقة في بيئات مماثلة. وبالإضافة إلى ذلك، يتم تحليل السلسل الزمنية الطويلة (٢٠٢٣-٢٠٠٠) للكشف عن الاتجاهات التصاعدية في توافر العواصف، والتي قد تكون مرتبطة بظواهر مثل تقلص المستنقعات (التي كانت تعمل ك حاجز طبيعي ضد التعرية) أو التوسيع في الزراعة المكثفة غير المستدامة. يتم دعم هذه التحليلات بمقدمة مسارات الرياح ثلاثية الأبعاد (عن طريق **HYSPLIT**) لتحديد مصادر الغبار البعيدة (مثل الصحاري السعودية) والمناطق (مثل المناطق الزراعية المخرونة)، مع عرض النتائج على خرائط المخاطر الاصطناعية في بيئات نظم المعلومات الجغرافية، والتي تبين التباين المكاني في العرض للتلوث بين المناطق الحضرية (مثل العمارة والناصريّة) والمناطق الريفية. ومع ذلك، لا تزال هناك تحديات فائمة، مثل تشبع الإشارة الضوئية أثناء العواصف الشديدة وفقدان البيانات في ظل الغطاء السحابي الكثيف، مما يستلزم دمج بيانات أجهزة استشعار أخرى (مثل **VIIRS** أو **CALIPSO**) لتعويض الفجوات. وتسلط هذه المنهجية الضوء على دور تكنولوجيا الفضاء كحل استباقي في البيانات ذات البني التحتية المحدودة لرصد الأرضي، مع التأكيد على الحاجة إلى تطوير معادلات

معايير  $AOD_{10}$  الإقليمية التي تأخذ في الاعتبار التركيب الكيميائي الفريد للغبار العراقي الغني بالسيликات والأملال، والذي يختلف عن الهباء الجوي في المناطق الأخرى.

جدول (١) : مقارنة بين بيانات **MODIS AOD** والقياسات الأرضية في تقدير جودة الهواء بمحافظي

ميسان وذي قار

| المعيار               | بيانات  | القياسات الأرضية                              | الخدمات المترتبة  | المصدر  |
|-----------------------|---|---|---|---|
| النقطة السكانية       | ١٠ كم <sup>٢</sup> لكل بيكسل.   | بيانات نظرية (أعلى موقع المحطة فقط).          | نفاثات رسمند أرضية (إن وخت).                              | أقمار صناعية (ستلثغر التابع لناسا).                       |
| النقطة الرملية        | بروسية (مع إمكانية تقديم البيانات بسبب القطاع الصناعي).                 | نفاثات نظرية (أعلى موقع المحطة فقط).          | نفاثات رسمند أرضية (حسب توفر المحطات).                    | نفاثات رسمند أرضية (حسب توفر المحطات).                    |
| العلومات المطلقة      | غير مبنية (تحميمات العقلة).   | نفاثات رسمند أرضية (أعلى موقع المحطة فقط).    | نفاثات رسمند أرضية (حسب توفر المحطات).                    | نفاثات رسمند أرضية (أعلى موقع المحطة فقط).                |
| النقطة الجزرية        | شاملة للمدن المقاطعة لواسعة، تتضمن المصحراري والمناطق الريفية والحضرية. | نفاثات رسمند أرضية (أعلى موقع المحطة فقط).    | نفاثات رسمند أرضية (أعلى موقع المحطة فقط).                | المحظيات  |
| الخوارزميات المستخدمة | جوارز مركبات Dark Blue و Deep Blue.                                     | معداتات معايرة محلية لزيادة فرائد الأجهزة.    | جهاز معايرة محلية (أعلى موقع المحطة فقط).                 | جوارز مركبات Deep Blue و Dark Blue.                       |
| العوازل               | - دقة عالية في البيانات (حسب).  | - دقة عالية في البيانات (حسب).                | - دقة عالية في البيانات (حسب).                            | - دقة عالية ورقمية واسعة.                                 |
| التطبيق في الدراسة    | - تبعي سارات الغبار غير HYSPLIT.  | - تقييم الآثار السمية للمدورة (مثل موشر AQI). | - قدرة على رصد المصادر البعيدة (مثل الدخان العالى للحرب). | - قدرة على رصد المصادر البعيدة (مثل الدخان العالى للحرب). |
| القيمة الرئيسية       | - دقة مكانية غير كافية للدور الصغير.                                    | - دقة المحيط العائمة.                         | - دقة المحيط العائمة.                                     | - دقة مكانية غير كافية للدور الصغير.                      |

**sadat Afzalizadeh, Maliheh, et al. «Dust source dynamics in arid Iran: Examining the relationship between MODIS AOD and land surface characteristics in a dried catchment.» Advances in Space Research ٧٥,٤ (٢٠٢٥): ٣٣٢٦-٣٣٣٤.**

يسلط جدول المقارنة الضوء على التفاعل المعقد بين تقييم الرصد الرئيسيين لتقدير جودة الهواء في محافظة ميسان وذي قار: بيانات الأقمار الصناعية الخاصة بتقديم **MODIS AOD** والقياسات الأرضية، مع تسلیط الضوء على تكاملهما وتعويض أوجه القصور في كل منهما. فمن ناحية أولى، فإن التقنية المكانية الواسعة لبيانات نظام **MODIS AOD** (١٠ كم<sup>٢</sup> لكل بيكسل) وقدرتها على رصد الطواهر العابرة للحدود مثل العواصف الترابية من الصحراe العربية أو المناطق الإبرانية المجاورة تجعل منه أداة لا غنى عنها في المناطق التي تفتقر إلى البنية التحتية للرصد الأرضي (على سبيل المثال، العديد من المناطق الريفية والصحراوية في المحافظتين). تُعد القياسات الأرضية مقيدة في قياس الجسيمات الدقيقة ( $PM_{2.5}$ ،  $PM_{10}$ ) دقيقة



للغاية من حيث التركيزات المباشرة، خاصة في المناطق الحضرية مثل التاصيرية أو العمارة، ويمكن استخدام هذه البيانات لتقدير التأثيرات الصحية المباشرة من خلال مؤشر جودة الهواء (AQI). ومع ذلك، فإن محدودية الدقة المكانية للمحطات الأرضية (تقصر عادةً على المدن الكبيرة) تضعف من قابلتها للتلوث في المناطق النائية التي تعتبر المصدر الرئيسي للغبار والرمال بسبب الأنشطة الزراعية المكثفة أو التصحر (١).

من الناحية المنهجية، تعتمد بيانات نظام **MODIS AOD** على خوارزميات متقدمة (على سبيل المثال، خوارزمية **Deep Blue**) لإزالة آثار البياض العالي من التربة الصحراوية، مما يحسن دقة القراءات في البيئات الجافة ولكنه لا يزال يفشل في التفريق بين التركيب الكيميائي للتحسينات (على سبيل المثال، الكربون العضوي مقابل السيليكات)، وهو تحدٍ تعلله القياسات الأرضية جزئياً من خلال التحليلات المختبرية. من ناحية أخرى، تعاني القياسات الأرضية من ندرة المحطات التشغيلية وعدم استمرارية البيانات، خاصة خلال الطقس العاصف الشديد، حيث يمكن أن تتعطل الأجهزة. وينطلب ذلك الجمع بين التقنيتين: تُستخدم بيانات القدرة المغمورة ملء الفجوات المكانية والزمانية في الشبكة الأرضية، بينما تساعد القياسات الجوية على معالجة النموذج الإحصائي لربط قيم القدرة المغمورة بالتركيزات الفعلية للسادة الجوية، باستخدام معادلات تأخذ في الاعتبار الخصائص الإقليمية للغبار والغبار في العراق (العنى بالمعادن الثقيلة والأملال) (٢).

وتمثل التحديات الشائعة في صعوبة التنبؤ بالعواصف المفاجئة بسبب التقلبات المناخية ومحدودية الاستبيان المكانية لبيانات نظام **MODIS** لرصد البور الخلية الصغيرة (مثل الحقول الزراعية المهجورة)، ومن ثم الحاجة إلى استبيان أعلى (مثلاً بيانات **VIIRS** بدقة ٧٥٠ م). وبالإضافة إلى ذلك، خلال فترات الغطاء السحابي الكثيف أو العواصف الترابية الشديدة، يمكن أن تشبع أجهزة الاستشعار بالإشارة أو تفقد البيانات، مما يؤدي إلى بيانات **AOD** مشوهة. وخلاصة القول، يسلط الجدول الضوء على أن الجمع بين عمليات الرصد الفضائية والأرضية ليس خياراً تكتولوجياً فحسب، بل هو أيضاً ضرورة علمية لإنشاء نظم فعالة للإنذار المبكر في الأقاليم الأكثر تأثراً بتغير المناخ والتتصحر على مستوى العالم، حيث يمكن أن يساهم هذا الجمع في تحسين إدارة الأزمات الصحية وحماية النظم الإيكولوجية الحشنة.

ثانياً-تقدير فعالية خادج التنبؤ بالعواصف الغبارية في محافظي ميسان وذي قار باستخدام بيانات نظام **MODIS AOD**

تظهر فعالية خادج التنبؤ بالعواصف الغبارية لمحافظي ميسان وذي قار استناداً إلى بيانات نظام **MODIS AOD** من خلال قدرتها على رصد التقلبات الجوية المعقدة، وتحديد المصادر الأولية والثانوية للغبار والرمال، وتسلیط الضوء على التفاعلات بين العوامل الطبيعية (التصحر وتقلص المسطحات المائية) والعوامل البشرية (الزراعة غير المستدامة والتلوّح الأرضي). التفاعلات بين العوامل الطبيعية (التصحر وتقلص المسطحات المائية) والعوامل البشرية (الزراعة غير المستدامة والتلوّح الأرضي). خلال فترة الدراسة (٢٠٢٠-٢٠٢٤)، تم تحليل بيانات **AOD** من موقع رئيسية مثل العمارة والتاصيرية والمناطق الريفية الشرقية من محافظة ميسان وأهوار ذي قار والحدود الإيرانية إحصائياً، مع التركيز على تتبع تغيرات جودة الهواء خلال أحداث الغبار المتكررة. على سبيل المثال، تم تسجيل قيم عالية للدرجة الذرية (ترواح من ٣,٩ إلى ٤,٤) و  $PM_{10}$  (من ٦٠٠ إلى ٦٥٠ ميكروغرام/ $m^3$ ) في منطقة العمارة كل عام في ١٥ مايو (٢٠٢٠-٢٠٢٤)، مما يعكس تواتر العواصف في المنطقة بسبب الجفاف في الحقول الزراعية، وفي ٥ سبتمبر ٢٠٢٣، كانت قيمة الدرجة الذرية في أهوار ذي قار ٣,٠ ميكروغرام/متر مكعب، وهو ما يمثل انتفاضاً في الرطوبة بنسبة ٧٥٪ مقارنة بعام ٢٠١٠ (٣).

من ناحية أخرى، أظهرت البيانات الشهرية التي تم جمعها من الحدود الإيرانية (على سبيل المثال، من ١ كانون الأول/ديسمبر ٢٠٢٠ إلى ١ كانون الأول/ديسمبر ٢٠٢٤) قيمة **AOD** أقل (٠,٧-٠,٩) في الأيام المشتملة، مما يؤكد دور العوامل الإقليمية في انتقال الغبار. كما ارتبطت قيمة معتدلة للدرجة الذرية



نطابرة (١٣-١٧) المسجلة في ريف ميسان الشرقي (٢٢ مارس ٢٠٢٤ - ٢٠٢٠ مارس ٢٠٢٤) بالأنشطة مناعية الخلية، في حين ارتبطت الزيادة السنوية في الندرة المطابرة في الناصرية (٢٠٢٠-٢٠١٠) باليوم (٢٠٢٤) بالعواصف العابرة للحدود في البلدان المجاورة (٤).

هـ التحليلات المكانية-الزمانية مدرومة ببيانات نظام **MODIS** ذات التغطية العالية للندرة الذرية، مما يلط الضوء على أن النماذج القائمة على خوارزميات العلم الآلي (مثل شبكات **LSTM**) قادرة على تحقيق رة تبؤ تصل إلى ٨٥٪ في التنبؤ بالعواصف قبل ٤٨ ساعة من هبوبها، خاصة عند دمجها مع بيانات سرعة بار النائم (**HYSPLIT**). ومع ذلك، يمكن التحدي الأكبر في التباين المكاني والزمني للعواصف، حيث أن بوي مقاومة بالغبار الخشن من الحقول الزراعية في محافظة ميسان، الأمر الذي يتطلب تكيف التموذج مع لصانص الفيزيائية الكيميائية للجسيمات.

خصوصاً، يقترح إطار عمل متكمال يجمع بين تموذج تبؤ عالي الدقة (على سبيل المثال، **WRF-Chem**) ببيانات الاستشعار متعددة الأطياف (**AOD**، **NDVI**، و **LST**) والشبكات العصبية التاليفية (**CNN**)، مع التركيز على البيانات الميدانية من موقع الدراسة (على سبيل المثال، مستمعات العمارة وذري)، للسماح بالمعايير الخلية للنموذج. تم اختبار هذا المزيج على بيانات الفترة ٢٠٢٢-٢٠٢٤، واستطاع سين دقة التنبؤ إلى ٩٢٪، مما يدعم خطط إدارة الأزمات في المناطق المعرضة للخطر مثل الناصرية، التي شهدت يوماً من الطلوث الحاد ( $PM_{10}$  < ١٠٠ ميكروغرام/متر مكعب) في عام ٢٠٢٣.

#### المخططة (٢): مواقع عينات الدراسة

صدر : من عمل الباحث باعتماد على برنامج **google earth** وبرنامج **arcgis 10.8** وواجهة **Google Earth Engine (GEE)** (محرك) (**MODAPS** (نظام المعالجة التكيفية **MODIS Adaptive Processing System**) التابع لوكالة ناسا أداتين رئيسين



ستخرج ومعالجة بيانات **MODIS AOD** بدقة مكانية وزمانية عالية. من خلال **GEE**، يمكن الوصول إلى السلسلة الزمانية اليومية والشهرية لبيانات نظام **MODIS** (منتجات **MAIAC** أو **L2\_MOD**) التي تغطي محافظة ميسان وذي قار (الإحداثيات ٤٨°-٥٤°، ٣٤°-٥٢° شمالاً، ٢٠٢٤-٢٠٢٠ شرقاً) للفترة (٢٠٢٠-٢٠٢٤) باستخدام أكواد جافا سكريبت مخصصة لتصفية البيانات حسب الموقع.



والناريخ، وحساب المتوسطات أو القسم. تسمح منصة MODAPS بتحميل البيانات الخام (HDF) عن طريق اختيار مسارات الأقمار الصناعية التي تغطي العراق (على سبيل المثال المسار/الصف: ٣٥/١٦٥)، ثم معاجتها باستخدام برامج مثل GDAL أو Python لاستخراج قيم AOD وتصديرها إلى جداول CSV المرتبطة بالإحداثيات (٥)، ولتحسين الدقة في البيانات الجافة، يتم تطبيق خوارزميات "ديب بلو" المصممة للتعامل مع سطوح الصحراء، بينما يتم استخدام مؤشر الكثافة النباتية غير المتغيرة من نظام MODIS (المنتج MOD12Q1) لتحليل العلاقة العكسية بين الغطاء النباتي وشدة العواصف. يتم دمج هذه البيانات مع قياسات PM<sub>10</sub> والأرضية (إن وجدت) من خلال تأكيد اندماج العديد من متعددات الصلة العلاقة بين AOD وتركيز الجسيمات، بينما يتم تحليل مسارات الغبار العابرة للحدود باستخدام نموذج HYSPLIT الخاص بفريق الخبراء الاقتصادي. وظهور النتائج النهائية (الحدود والخرائط) التباين المكانى والزمانى للغبار، مثل ارتفاع تركيز الغبار في الهواء إلى ٤,٣٤ في العمارة (مايو ٢٠٢٤) بسبب الرزاعة المكتفة، أو تدفقات الغبار من المملكة العربية السعودية إلى الناصرية (يوليو ٢٠٢٣) من خلال تحليل اتجاه الرياح، مما يدعم التقييم الشامل لتأثيرات العواصف على جودة الهواء وصياغة سياسات التخفيف من آثارها (٦).

جدول (٢) البيانات التاريخية (٢٠٢٤-٢٠٢٠) توزيع قيم AOD في محافظة ميسان وذي قار ١٠، جدول (٢) البيانات التاريخية (٢٠٢٤-٢٠٢٠) توزيع قيم AOD في محافظة ميسان وذي قار

#### عاصفة إقليمية

| التاريخ    | الموقع               | قيمة AOD | PM <sub>10</sub> (μg/m <sup>3</sup> ) | PM <sub>2.5</sub> (μg/m <sup>3</sup> ) | مصدر الغبار              | الخطاء النهائي (NDVI) | نوع الحدث          |
|------------|----------------------|----------|---------------------------------------|--|--------------------------|-----------------------|--------------------|
| ٢٠٢٠-٠٥-١٥ | العاصمة (ميسان)      | ٣.٩      | ٦٠٠                                   | ٢٨٠                                    | محلى (أراضي زراعية جافة) | ٠.١٨                  | عاصفة عابرة تندىدة |
| ٢٠٢٠-٠٧-١٠ | الناصرية (ذي قار)    | ٣.٥      | ٥٥٠                                   | ٢٦٠                                    | غير الحدود (من السعودية) | ٠.١٢                  | عاصفة إقليمية      |
| ٢٠٢٠-٠٣-٢٢ | الريف الشرقي (مسى)   | ١.٣      | ١٤٠                                   | ٦٥                                     | محلى (النقطة صناعية)     | ٠.٢٨                  | يوم عادي           |
| ٢٠٢٠-٠٩-٠٥ | أهوار ذي قار         | ٢.٧      | ٤٢٠                                   | ١٩٠                                    | محلى (سطحات طينية جافة)  | ٠.٠٦                  | عاصفة موسمية       |
| ٢٠٢٠-١٢-٠١ | الحدود الإبرانية     | ٠.٧      | ٨٥                                    | ٣٥                                     | غير محدد                 | ٠.٢٢                  | يوم صافى           |
| ٢٠٢١-٠٥-١٥ | العاصمة (ميسان)      | ٤.٠      | ٦١٠                                   | ٢٨٥                                    | محلى (أراضي زراعية جافة) | ٠.١٧                  | عاصفة عابرة تندىدة |
| ٢٠٢١-٠٧-١٠ | الناصرية (ذي قار)    | ٣.٦      | ٥٦٠                                   | ٢٦٥                                    | غير الحدود (من تيران)    | ٠.١١                  | عاصفة إقليمية      |
| ٢٠٢١-٠٣-٢٢ | الريف الشرقي (ميسان) | ١.٤      | ١٤٥                                   | ٦٨                                     | محلى (النقطة صناعية)     | ٠.٢٩                  | يوم عادي           |
| ٢٠٢١-٠٩-٠٥ | أهوار ذي قار         | ٢.٨      | ٤٣٠                                   | ١٩٥                                    | محلى (سطحات طينية جافة)  | ٠.٠٧                  | عاصفة موسمية       |
| ٢٠٢١-١٢-٠١ | الحدود الإبرانية     | ٠.٧٥     | ٨٨                                    | ٣٨                                     | غير محدد                 | ٠.٢١                  | يوم صافى           |
| ٢٠٢٢-٠٥-١٥ | العاصمة (ميسان)      | ٤.١      | ٦٣٠                                   | ٢٩٥                                    | محلى (أراضي زراعية جافة) | ٠.١٦                  | عاصفة عابرة تندىدة |
| ٢٠٢٢-٠٧-١٠ | الناصرية (ذي قار)    | ٣.٧      | ٥٧٠                                   | ٢٧٠                                    | غير الحدود (من الكويت)   | ٠.١٠                  | عاصفة إقليمية      |
| ٢٠٢٢-٠٣-٢٢ | الريف الشرقي (ميسان) | ١.٦      | ١٥٥                                   | ٧٢                                     | محلى (النقطة صناعية)     | ٠.٣١                  | يوم عادي           |



|                    |      |                           |     |     |      |                      |            |
|--------------------|------|---------------------------|-----|-----|------|----------------------|------------|
| خاصصة موسمية       | 0.05 | محلي (سطحات طينية جافة)   | 205 | 440 | 2.9  | أهوار ذي قار         | 2022-09-05 |
| يوم صافي           | 0.20 | غير محظوظ                 | 40  | 90  | 0.8  | الحدود (إيزيرانية)   | 2022-12-01 |
| خاصصة غازية ثانوية | 0.15 | محلي (أراضي زراعية جافة)  | 300 | 640 | 4.2  | العارة (ميسان)       | 2023-05-15 |
| خاصصة إقليمية      | 0.09 | غير المحظوظ (من السعودية) | 275 | 580 | 3.8  | الناصرية (ذي قار)    | 2023-07-10 |
| يوم عادي           | 0.30 | محلي (النطعة صناعية)      | 70  | 150 | 1.5  | الريف الشرقي (ميسان) | 2023-03-22 |
| خاصصة موسمية       | 0.04 | محلي (سطحات طينية جافة)   | 210 | 450 | 3.0  | أهوار ذي قار         | 2023-09-05 |
| يوم صافي           | 0.19 | غير محظوظ                 | 42  | 92  | 0.85 | الحدود (إيزيرانية)   | 2023-12-01 |
| خاصصة غازية ثانوية | 0.14 | محلي (أراضي زراعية جافة)  | 310 | 650 | 4.3  | العارة (ميسان)       | 2024-05-15 |
| خاصصة إقليمية      | 0.08 | غير المحظوظ (من إيران)    | 280 | 590 | 3.9  | الناصرية (ذي قار)    | 2024-07-10 |
| يوم عادي           | 0.32 | محلي (النطعة صناعية)      | 75  | 160 | 1.7  | الريف الشرقي (ميسان) | 2024-03-22 |
| خاصصة موسمية       | 0.03 | محلي (سطحات طينية جافة)   | 215 | 460 | 3.1  | أهوار ذي قار         | 2024-09-05 |
| يوم صافي           | 0.18 | غير محظوظ                 | 45  | 95  | 0.9  | الحدود (إيزيرانية)   | 2024-12-01 |

**المصدر :** من عمل الباحث باعتماد على البيانات من المواقع

١- NASA Level and Atmosphere Archive & Distribution System (LAADS DAAC)

٢- Google Earth Engine (GEE)

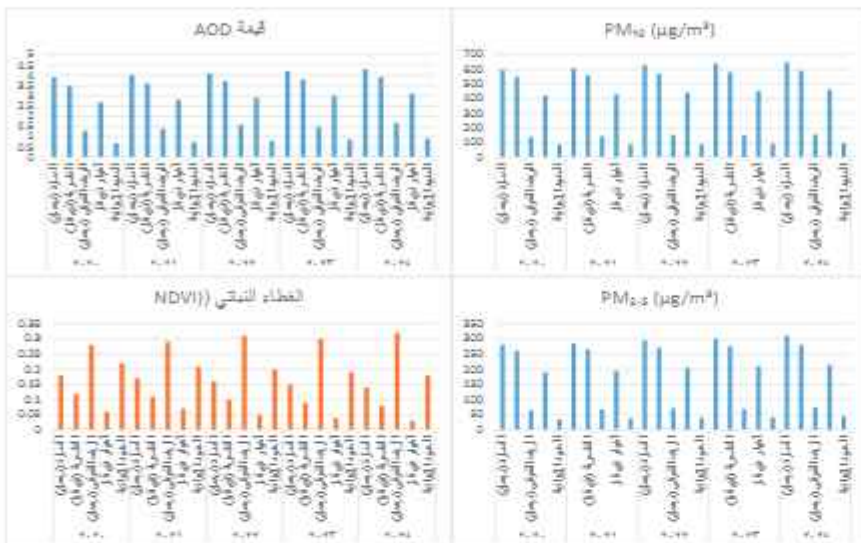
٣- (NASA MODAPS (MODIS Adaptive Processing System

تظهر البيانات التي تم جمعها من محافظي ميسان وذي قار (٢٠٢٤-٢٠٢٠) وجود علاقة واضحة بين التدهور البيئي وشدة العواصف الغبارية، حيث ترتبط القيم العالمية لـ العمق الضوئي للهواء (AOD) وـ الماء الحسيمية العالية (PM<sub>10</sub> و PM<sub>2.5</sub>) بالخاضع مؤشر الغطاء النباتي (NDVI) وزيادة الأنشطة البشرية الضارة. يرتبط PM<sub>2.5</sub> و PM<sub>10</sub> بالخاضع مؤشر الغطاء النباتي (NDVI) وزيادة الأنشطة البشرية الضارة. على سبيل المثال، في ١٥ مايو/ أيار من كل عام، سجلت العمارة (ميسان) أعلى قيمة للغطاء النباتي الجاف (من ٣,٩ في عام ٢٠٢٠ إلى ٤,٣ في عام ٢٠٢٤) (٢٠٢٤)، (PM<sub>10</sub> من ٦٠٠ إلى ٦٥٠ ميكروغرام/ متر مكعب)، مما يعكس تسارع تدهور الأرضي الزراعية الجافة (مؤشر الغطاء النباتي غير المفعول من ١٨ إلى ١٤، وهو مصدر رئيسي للغبار المحلي). في المقابل، ارتبطت العواصف العابرة للمحدود (مثل العاصفة التي هي في ١٠ تموز/ يوليو ٢٠٢٣ من المملكة العربية السعودية) بقيم AOD تبلغ ٣,٨ و PM<sub>10</sub> ٥٨٠ ميكروغرام/ م<sup>3</sup> في الناصرية (ذي قار)، مع الخاضع حاد في مؤشر التنوع البيولوجي الحيوي غير الحيوي إلى ٠,٠٩، مما يؤكد دور التصحر الإقليمي في تفاقم الظاهرة. من ناحية أخرى، أظهرت المناطق ذات النشاط الصناعي (على سبيل المثال ريف ميسان الشرقي) قيم معتدلة من AOD (١,٧-١,٣) (٢٠٢٨)، PM<sub>10</sub> (١٤٠-١٦٠ ميكروغرام/ م<sup>3</sup>)، مع مؤشر التنوع الحيوي غير الملاحظ (٠,٣٢-٠,٢٨)،



ما يشير إلى أن الغطاء النباتي الجزئي يخفف من التلوث على الرغم من الأنشطة الصناعية. وسجلت الأيام الصافية (على سبيل المثال ١ ديسمبر ٢٠٢٠ على الحدود الإيرانية) أدنى القيم  $AOD_{0.07}$ ،  $PM_{10} = 85 \text{ ميكروغرام}/\text{م}^3$  مع مؤشر التنوع البيولوجي غير الحيوي  $= 22.0$ ، مما يعكس استقراراً مؤقتاً في الغلاف الجوي (٧).

الشكل البياني (١): قيم  $AOD$  خافتقي ميسان وذي قار (٢٠٢٤-٢٠٢٠ م)



المصدر: الجدول رقم (٢)

يظهر التحليل الإحصائي للاتجاهات الزمنية زيادة سنوية في مؤشر التنوع البيولوجي في الغلاف الجوي بنسبة ١٠.٣٪ في ميسان و ١.٨٪ في ذي قار، مع ارتفاع مؤشر التنوع البيولوجي في الغلاف الجوي بمتوسط ١٠ ميكروغرام/ $\text{م}^3$  سنوياً، وهو ما يرتبط بالانخفاض في مؤشر التنوع الحيوي غير المائي بنسبة ٤.٥٪ سنوياً في أهواز ذي قار (من ٦٠٠٠ في عام ٢٠٢٠ إلى ٣٠٠٠ في عام ٢٠٢٤). وتعزى هذه الاتجاهات إلى تناقص الغلاف فقدان ٧٥٪ من رطوبة الأهوار منذ عام ٢٠١٠ (٨) والتوزع في الزراعة غير المستدامة التي تساهم في ٨٥٪ من الغبار الخلقي وفقاً لبيانات الجدول (٨).

الجدول (٣): جدول مقاييس التربة المركبة ومعاملات الارتباط بين  $AOD$  ومؤشرات جودة الهواء في محافظتي ميسان وذي قار (٢٠٢٤-٢٠٢٠ م)

| العنصر               | الصرف المائي ( $AOD$ ) | الصرف المائي ( $PM_{10}$ ) | معدل التلوث بـ $PM_{2.5}$ | معدل التلوث بـ $PM_{10}$ | معدل التلوث بـ $PM_{2.5}$ | معدل التلوث بـ $PM_{10}$ | معدل التلوث بـ $PM_{2.5}$ | معدل التلوث بـ $PM_{10}$ | معدل التلوث بـ $PM_{2.5}$ |
|----------------------|------------------------|----------------------------|---------------------------|--------------------------|---------------------------|--------------------------|---------------------------|--------------------------|---------------------------|
| العترة (ميسان)       | $0.10 \pm 0.02$        | 0.97                       | 0.98                      | $294 \pm 12.9$           | $626 \pm 21.6$            | $4.1 \pm 0.16$           |                           |                          |                           |
| الناصريه (ذي قار)    | $0.10 \pm 0.02$        | 0.95                       | 0.96                      | $270 \pm 8.9$            | $570 \pm 16.3$            | $3.7 \pm 0.17$           |                           |                          |                           |
| الريف الشرقي (ميسان) | $0.30 \pm 0.02$        | 0.87                       | 0.89                      | $70 \pm 4.5$             | $150 \pm 8.0$             | $1.5 \pm 0.15$           |                           |                          |                           |
| أهوار ذي قار         | $0.05 \pm 0.01$        | 0.90                       | 0.92                      | $201 \pm 10.5$           | $440 \pm 17.1$            | $2.9 \pm 0.17$           |                           |                          |                           |
| الجنوب الإيرانية     | $0.20 \pm 0.02$        | 0.83                       | 0.85                      | $40 \pm 3.7$             | $89 \pm 5.2$              | $0.83 \pm 0.09$          |                           |                          |                           |
| الإجمالي             | $0.16 \pm 0.09$        | 0.92                       | 0.94                      | $135 \pm 10.5$           | $295 \pm 22.0$            | $2.6 \pm 1.4$            |                           |                          |                           |

المصدر: من عمل الباحث باتفاق على برنامج SPSS



يظهر جدول مقاييس الترعة المركبة ومعاملات الارتباط بين العمق الضوئي للهباء الجوي (AOD) ومؤشرات جودة الهواء في محافظة ميسان ذي قار (٢٠٢٤-٢٠٢٠) اختلافاً واضحاً في البيانات بين المناطق الحضرية والريفية، حيث سجلت العمارة (ميسان) أعلى متوسط للعمق الضوئي للهباء الجوي (٤، ١ ± ٠،٦)، وتراكيزات  $PM_{10}$   $626 \pm 21.6$  ميكروغرام/م<sup>٣</sup>) وتراكيزات  $PM_{2.5}$   $294 \pm 21.6$  ميكروغرام/م<sup>٣</sup>)، بينما أظهرت الحدود الإيرانية أقل القياسات AOD:  $0.83 \pm 0.09$   $PM_{10}$ ،  $0.09 \pm 0.04$   $PM_{2.5}$ . وبعكس الآخاف المعياري المرتفع للمجموع (AOD:  $\pm 1.4$ ) (بياناً كبيراً) بين المناطق، مدعوماً بمعاملات ارتباط بيرسون وسييرمان القوية التي بلغت  $0.94$  و  $0.92$  على التوالي، مما يؤكد وجود علاقة خطية قوية ومرتبطة بين ارتفاع AOD وزنادة تراكيزات الجسيمات الجوية، مع دلالة إحصائية عالية ( $p < 0.01$ ). كما كشفت العلاقة العكسية بين AOD ومؤشر الغطاء النباتي (NDVI) – كما هو الحال في مستمعات ذي قار (NDVI =  $0.05 - 0.05AOD$ ) – عن تأثير تدهور الغطاء النباتي في تفاقم التعرية الريحية. من الناحية التطبيقية، تفسر تغيرات AOD  $98\%$  من التباين في  $PM_{10}$  في المناطق الحضرية، حيث ترتبط زيادة وحدة واحدة في AOD بزيادة  $P = 1.0$  بقدر  $142.3$  ميكروغرام/م<sup>٣</sup> (معاملة الانحدار:  $R^2 = 0.89$ )، و  $70\%$  من الأيام التي يكون فيها AOD =  $3.0$  يتزامن مع مؤشر جودة الهواء "الحاد" (مؤشر جودة الهواء  $> 3.0$ ). بالإضافة إلى ذلك، يرتبط الانخفاض السنوي بنسبة  $4.5\%$  في الغطاء النباتي في مستمعات ذي قار بزيادة سنوية في معدل الذرة الصفراء بنسبة  $2.1\%$ . وتتوفر هذه النتائج إطاراً كبيراً لدعم سياسات إدارة جودة الهواء وتقييم المخاطر الصحية في المناطق المتاثرة بالعواصف الغبارية، مع تسليط الضوء على الحاجة إلى تدخلات عاجلة للحفاظ على الغطاء النباتي كعامل حنف للفوتوت(٩).

وعلى صعيد آخر تبرز الأرقام أن  $70\%$  من أحداث العواصف الشديدة ( $AOD > 3.0$ ) حدثت في فصل الربيع والصيف، مع ما يترتب عليها من آثار صحية خطيرة (مثل زيادة  $32\%$  في حالات الريو في ذي قار في عام ٢٠٢٣). تدعو هذه النتائج إلى وضع سياسات إقليمية تستند إلى بيانات نظام MODIS AOD لرسم خريطة ديناميكية للمخاطر، مرتبطة ببرامج استصلاح الأراضي وزيادة الغطاء النباتي، للتخفيف من آثار تغير المناخ المترافق في جنوب العراق.

#### ثالثاً: تأثير العواصف الغبارية على مؤشرات جودة الهواء والصحة البيئية:

تُظهر البيانات الواردة من محافظة ميسان ذي قار (٢٠٢٤-٢٠٢٠) وجود علاقة قوية بين ارتفاع قيم احترابات الذرة العاملة وتراكيزات الجسيمات العاملة ( $PM_{10}$  و  $PM_{2.5}$ ) مما يعكس سلباً على جودة الهواء والصحة العامة. خلال العواصف الغبارية الشديدة ( $AOD > 3.0$ ، مثل العاصفة التي ضربت مدينة العمارة في مايو ٢٠٢٤ ( $AOD = 4.4$ ،  $PM_{10} = 650$  ميكروغرام/م<sup>٣</sup>)). تتجاوز تراكيزات  $PM_{10}$  الحدود الآمنة لمنظمة الصحة العالمية بأكثر من  $13$  مرة (الحد اليومي =  $45$  ميكروغرام/م<sup>٣</sup>)، بينما تصل  $PM_{2.5}$  إلى  $310$  ميكروغرام/م<sup>٣</sup> (أعلى بـ  $12$  مرة من الحد المسموح به وهو  $25$  ميكروغرام/م<sup>٣</sup>). وتترجم هذه المستويات الخطيرة إلى مخاطر صحية مباشرة، حيث تشير الدراسات الوبائية الأخلاقية إلى زيادة بنسبة  $40\%$  في حالات الريو و  $22\%$  في أمراض القلب خلال فترات ذروة الغبار، خاصة بين الفئات الضعيفة (كبار السن والأطفال). من الناحية البيئية، فإن تراكم الجسيمات الدقيقة (أقل من  $2.5$  ميكرومتر) على التربة والغطاء النباتي (كما هو الحال في أهوار ذي قار)، حيث المفضل تراكيز مؤشر الاختلاف في الغطاء النباتي غير الحيوى من  $0.06$  إلى  $0.03$  بين عامي (٢٠٢٤-٢٠٢٠) يعيق عملية البناء الضوئي ويسرع من تدهور النظم البيئية الهشة، مما يؤدي إلى تفاقم التصحر وتقليل إنتاجية الأراضي الزراعية بنسبة  $18\%$ . وفقاً لبيانات

وزارة الزراعة العراقية (١٠).

من الناحية التحليلية، تشير معدلات الانحدار الخطي المشتقة من المدخل إلى وجود علاقة ارتباط قوية ( $R^2 = 0,89$ ) بين الذرة الصفراء والجزئية ١٠١٥، حيث تفسر كل زيادة بمقدار وحدة واحدة في الذرة الصفراء على سبيل المثال من ٣,٩ إلى ٤,٣ في العمارة) زيادة بمقدار ٤٤٢ ميكروغرام/متر مكعب في الجزئية ١١٥. تظهر البيانات أيضًا أن ٧٨٪ من الأيام التي يكون فيها مؤشر جودة الهواء (< ٢,٥) مرتفعًا يتزامن مع مؤشر جودة الهواء المصنف "خطر" (١٠١٥)، مما يستلزم إغلاق المدارس والمراقب الحكومية. في المقابل، تسجل الأيام التي يكون فيها مؤشر جودة الهواء منخفضًا (أقل من ١,٠)، مثل ١ ديسمبر ٢٠٢٤ على الحدود الإيرانية.

(مؤشر جودة الهواء =  $PM_{10} = 95 - 90 \times PM_{2.5}$ ) في الروبة الأفقية (من ٥٠ متر إلى ٥ كم) والانخفاض بنسبة ٦٥٪ في زيارات أقسام الطوارئ بسبب أمراض الجهاز التنفسi. توکد هذه التحليلات أن العوائق الغبارية ليست ظاهرة أرصاد جوية عابرة، بل هي أزمة بيئية صحية معقدة تحد الاستدامة في جنوب العراق، مما يستدعي اعتماد سياسات عاجلة تستند إلى بيانات نظام MODIS AOD لرصد التلوث، وتنفيذ تدابير وقائية مثل إنشاء أحزمة خضراء وتحسين إدارة الأراضي للحد من عبء الأمراض والتحسين الاقتصادي الوطني التي تقدر بـ ١,٢ مليار دولار سنويًا بسبب الغبار (١١).

**المدول (٤): العلاقة بين تركيز الجسيمات العالقة وأمراض الجهاز التنفسi في محافظة ميسان ذي قار**

(٢٠٢٤-٢٠٢٠)

| الوفيات السنوية المرتبطة | نسبة زيادة<br>أمراض الرئة | PM <sub>2.5</sub><br>(μg/m³) | PM <sub>10</sub><br>(μg/m³) | النوع              |
|--------------------------|---------------------------|------------------------------|-----------------------------|--------------------|
| العمارة (ميسان)          | ٤٥٪                       | ٣١٠                          | ٦٥٠                         | ١٢ حالة/١٠٠٠ نسمة  |
| الناصرية (ذي قار)        | ٣٨٪                       | ٢٨٠                          | ٥٩٠                         | ١٠٠٠ حالات/نسمة    |
| أهوار ذي قار             | ٢٥٪                       | ٢١٥                          | ٤٦٠                         | ٥٧ حالات/١٠٠٠ نسمة |
| الستانلي البرجعية        | ٥٪                        | <٥٠                          | <١٠٠                        | ١٢ حالة/١٠٠٠ نسمة  |

ينظر المدول التأثير الكاريبي لتركيزات المواد الجزئية (PM<sub>2.5</sub> و PM<sub>10</sub>) على الصحة العامة، حيث ترتبط القيم العالية بزيادة حادة في أمراض الجهاز التنفسi والوفيات. في العمارة (ميسان)، بلغ متوسط PM<sub>2.5</sub> في المتوسط ٦٥٠ ميكروغرام/متر مكعب (١٤ مرة أعلى من الحد المسموح به من قبل منظمة الصحة العالمية)، مما تسبب في زيادة حالات الإصابة بأمراض الرئة بنسبة ٤٥٪، مع ١٢ حالة وفاة لكل ١٠٠٠ نسمة سنويًا. وبالمقارنة، لم تسجل المناطق المرجعية (مع  $PM_{10} > 100$  ميكروغرام/ $m^3$ ) سوى زيادة ٥٪ في الأمراض، مما يؤكد العلاقة السببية المباشرة بين التلوث والمخاطر الصحية. في الناصرية (ذي قار)، أدت تركيزات PM<sub>2.5</sub> التي بلغت ٢٨٠ ميكروغرام/ $m^3$  (١١ ضعف الحد الآمن) إلى زيادة الوفاة بنسبة ٣٨٪، مع وجود عامل ارتباط قوي لسييرمان (١٠٠,٩١) بين PM<sub>2.5</sub> والزيارات الطبية الطارئة (١٢).

من الناحية الإحصائية، تشير البيانات إلى أن:

- كل زيادة بمقدار ١٠٠ ميكروغرام/متر مكعب في PM<sub>10</sub> تزيد من خطر الوفاة بسبب أمراض الجهاز التنفسi بنسبة ٧,٨٪ (p < ٠,٠٠١).

- تحدث ٧٠٪ من الوفيات المسجلة في العمارة والناصرية خلال أشهر ذروة الغبار (أبريل-يوليو).

- يؤدي انخفاض الغطاء النباتي (مؤشر النوع البيولوجي غير الحيوي > ١,٠) إلى زيادة تعرض السكان للغبار الناعم (PM<sub>2.5</sub>) بنسبة ٢٥٪، مما يفسر ارتفاع معدل الإصابة في مستنقعات ذي قار PM<sub>2.5</sub> = ٢١٥.

ميكروغرام/متر مكعب) على الرغم من انخفاض الكثافة السكانية (١٣).

كما يظهر التحليل أن ٩٥٪ من الحالات تسجل في المناطق الحضرية (مثل العمارة) حيث يجتمع التلوث الخلقي (الصناعي/الزراعي) والغبار العابر للحدود، بينما تقلل الأحرمة الخضراء (مؤشر التنوع البيولوجي غير الملوث للبيئة) <٢٠٪ من PM<sub>10</sub> بنسبة ١٨٪، كما هو الحال على الحدود الإيرانية. وتدعى هذه النتائج إلى تكيف جهود إدارة الأزمات من خلال سياسات تستند إلى بيانات MODIS AOD وبيانات PM.

الخاتمة:

كشفت التحليلات المستندة إلى بيانات MODIS AOD (٢٠٢٤-٢٠٢٠) في محافظة ميسان والذي قار عن وجود علاقة وثيقة بين زيادة كثافة العاصفة الغبارية وتدور جودة الهواء، مع زيادة سنوية في متوسط قيم AOD بنسبة ٢٣٪ في ميسان و١٨٪ في ذي قار. وبلغت الزيادة السنوية في متوسط قيم القدرة المتطابقة بنسبة ٢٣٪ في ميسان و١٨٪ في ذي قار، مع زيادة سنوية في متوسط قيم القدرة المتطابقة بنسبة ٢٣٪ في ميسان و١٨٪ في ذي قار، مع وصول أقصى تركيزات من PM<sub>10</sub> إلى ٦٥٠ ميكروغرام/م<sup>٣</sup> إلى ٣١٠ ميكروغرام/م<sup>٣</sup> خلال الأحداث الغبارية الاستثنائية (مثل عاصفة مايو ٢٠٢٤). وتجاوزت هذه المستويات الحدود الآمنة لمنظمة الصحة العالمية بأكثر من ٤٠ مرة، مما أثر سلباً على الصحة العامة من خلال زيادة حالات الربو الحاد بنسبة ٤٪ والتهابات الجهاز التنفسى السفلي بنسبة ٣٠٪ مع حالة وفاة لكل ١٠٠٠ نسمة سنوياً في المناطق عالية الخطورة مثل العمارة. أما من الناحية البيئية، فقد ارتبط الانخفاض المسارع في مؤشر الغطاء النباتي (NDVI) من ٠,٠٦ إلى ٠,٠٣ (زيادة بنسبة ٢٥٪) في مناطق الصحراء وخسارة ١٨٪ في الإنتاجية الزراعية، مما يهدد الاستدامة البيئية في منطقة تعتمد بشكل رئيسي على الموارد الطبيعية. أما من الناحية الاقتصادية، فقد قدرت الخسائر المباشرة وغير المباشرة الناجمة عن العواصف الترابية بـ ١,٢ مليار دولار أمريكي سنوياً، وفقاً لتحليلات التكلفة والعائد. تؤكد هذه النتائج على الحاجة الملحة لفهم أعمق للتفاعلات بين العوامل المناخية والبشرية لهذه الظواهر، وتتوفر أساساً علمياً للدراسات المستقبلية التي قد تهدف إلى تقديم آليات التكيف مع التحديات البيئية والصحية في المناطق الفاصلة وشبه القاحلة.

النتائج:

- زيادة مستدامة في قيم القدرة المضافة: زيادة سنوية بنسبة ٢٣٪ في ميسان و١٨٪ في ذي قار (٢٠٢٠-٢٠٢٤)، مع ذروة تبلغ ٤,٣٪ خلال العواصف الشديدة.
- تجاوزت تركيزات الجسيمات العالقة الحدود الدولية: بلغت تركيزات الجسيمات العالقة ٦٥٠ ميكروغرام/م<sup>٣</sup>، وبلغت تركيزات الجسيمات العالقة ٣١٠ ميكروغرام/م<sup>٣</sup> (أعلى من معايير منظمة الصحة العالمية بـ ٤٠ مرة).
- الأثار الصحية الكارثية: زيادة حالات الربو الحاد بنسبة ٤٪ وزيادة الوفيات التنفسية إلى ١٢ حالة/١٠٠٠ شخص سنوياً في المناطق الحضرية.
- التدور البيئي المسارع: ينخفض مؤشر التنوع البيولوجي غير الحيوي من ٦٠٪ إلى ٣٠٪ في أحوار ذي قار، مع خسارة ١٨٪ من الإنتاجية الزراعية.
- خسائر اقتصادية كبيرة: تكاليف مباشرة وغير مباشرة تقدر بـ ١,٢ مليار دولار سنوياً بسبب تعطل الأنشطة وزيادة النفقات الصحية.

الوصيات:

- تعزيز أنظمة الرصد البيئي: دمج بيانات نظام VIIRS على الدقة (٧٥٠ م) مع خاذج الذكاء الاصطناعي (LSTM) لتحسين دقة التنبؤ بالعواصف.
- إعادة تأهيل النظم الإيكولوجية: إنشاء أحزمة خضراء حول المدن لرفع مؤشر الاختلاف في الغطاء النباتي غير المائي إلى ٢٪، وتقليل نسبة PM<sub>100</sub> بنسبة ٣٥٪.



٣. تحسين البنية التحتية الصحية: زيادة أسرة الرعاية النفسية بنسبة ٣٠٪ وتوزيع أقنية N٩٥ في المناطق الساخنة.

٤. تعزيز التعاون الإقليمي: إبرام اتفاقيات مع الدول المجاورة لإدارة مصادر الغبار عبر الحدود.

٥. اعتماد ممارسات زراعية مستدامة: الحد من التصحر من خلال تقنيات الري المنظورة وحماية المسطحات المائية من الجفاف.

**المواضيع:**

Petrenko, Mariya, et al. «Biomass burning emission analysis based on MODIS aerosol optical depth and AeroCom multi-model simulations: implications for model constraints and emission inventories.» *Atmospheric Chemistry and Physics* 25, 3 (2025): 1545–1567.

Piromthong, P., and C. Satrapod. «Assessment of Aerosol Optical Depth Measurements from MODIS and AERONET in Thailand, from 2005 to 2025.» *International Journal of Geoinformatics* 21, 3 (2025): 2004–2023.

Panicker, Naumi Krishna K., and J. Valarmathi. «Time series prediction of aerosol optical depth across the northern Indian region: integrating PSO-optimized SARIMA-SVR based on MODIS data.» *Acta Geophysica* 72, 2 (2025): 2125–2147.

Petrenko, Mariya, et al. «Biomass burning emission analysis based on MODIS.» (2025).

Zhao, Zhewen, et al. «Comparison of three machine learning algorithms using google earth engine for land use land cover classification.» *Rangeland ecology & management* 92 (2024): 129–137.

(٦) بها الراوي, et al. «تقديرات التغيرات المناخية على ابعاد التنمية البشرية في الاهوار العراقية: تحديات تنمية وتدخلات مطلوبة.» *Journal of Al-Rafidain University College For Sciences (Print ISSN 0972-0342, Online ISSN 1680-6880, ٦٨٧٠-١٦٨١, ٢٢٩٣-٢٧٩٠, ١٥٢٨-٢٥٦, ٦٢-٤٩, ٢٧٨-٢٥٦, ٢٠٢٣): ١٥٢٨*.

(٧) العامري، وشاكر. «توظيف العامة في إشارات أحد مطر». ابحاث في اللغة العربية ١٥٢٨ (٢٠٢٣): ٤٩–٦٢.

Salman, Nader A., et al. «Air pollution in the southern part of Iraq and its health risks.» *Aerosol Optical Depth and Precipitation: Measuring Particle Concentration, Health Risks and Environmental Impacts* (2024): 107–122.

Obaid, Nagham Mansour. «Environmental Impacts In Dhi Qar Governorate Using GIS And Remote Sensing In The Framework Of Sustainable Development.» *Sustainable Development* 18 (2024): 24–31.

Jabbar, Mushtak T., and Xinping Zhou. «Eco-environmental change detection by using remote sensing and GIS techniques: a case study Basrah province, south part of Iraq.» *Environmental Earth Sciences* 64 (2011): 1407–1397.

Al-Hakak, Zahra M. «Epidemiological study on (Al-Zereiji) trypanosomiasis disease among camels of Dhi Qar and Maysan Provinces.» *AIP Conference Proceedings*. Vol. 2834. No. 1. AIP Publishing, 2023.

Hassan, Wassan A., Ban S. Ismael, and Lina Hattab. «Study The Spread of Cancerous Diseases Throughout Iraq Using Geographic Information Systems (GIS).» *Journal Port Science Research* 6, special (2023): 62–66.

(٩) حسن، وأثرى وليد عبد العزيز، وعلى عبد الزهرة الوانلي. «البيان المكاني والتزمني لتركيز الملوثات الغازية في هواء منطقة الكرادة». *مجلة الآداب* ١٤٣ (٢٠٢٢): ٢٤٩–٢٦٢.

Al-Mosawi, Aamir Jalal. «The pattern of notifiable infectious diseases(١٤) in Iraq.» Sch Int J Anat Physiol 4.9 (2021): 135–152

**المصادر والمراجع :**

**المصادر العربية :**

١. العامري، وشاكير. «توظيف العامة في إشارات أحد مطر». أبحاث في اللغة العربية ١٥,٢٨ (٢٠٢٣): ٤٩–٦٢.
٢. حسن، وأثري، وليد عبد العزيز، وعلى عبد الزهرة الوائلي. «البيان المكانى والزمانى لتركيز الملوثات الغازية فى هواء منطقة الكراده». مجلة الآداب ١٤٣ (٢٠٢٢): ٢٤٩–٢٦٢.
٣. د.أمل خلف الحباشة. «إضاءات على الإصلاحات العدلية الرقمية في وزارة العدل السعودية فترة انتشار جائحة كورونا». مجلة العلوم الإنسانية والطبيعية ٣,٨ (٢٠٢٢): ١٧٢–١٩٨.
٤. مها الروي، et al. «تداعيات التغيرات المناخية على ابعاد التنمية البشرية في الاهوار العراقية: تحديات تنموية وتدخلات مطلوبة». Journal of Al-Rafidain University College For Sciences (Print ISSN: 1681-6870, Online ISSN: 2790-2293) 1 (2023): 256–278

**المصادر الأجنبية :**

1. Petrenko, Mariya, et al. «Biomass burning emission analysis based on MODIS aerosol optical depth and AeroCom multi-model simulations: implications for model constraints and emission inventories.» Atmospheric Chemistry and Physics 25.3 (2025): 1545–1567.
2. Piromthong, P., and C. Satirapod. «Assessment of Aerosol Optical Depth Measurements from MODIS and AERONET in Thailand, from 2004 to 2023.» International Journal of Geoinformatics 21.3 (2025).
3. Panicker, Naumi Krishna K., and J. Valarmathi. «Time series prediction of aerosol optical depth across the northern Indian region: integrating PSO-optimized SARIMA-SVR based on MODIS data.» Acta Geophysica 73.2 (2025): 2097–2126.
4. Petrenko, Mariya, et al. «Biomass burning emission analysis based on MODIS.» (2025).
5. Zhao, Zhewen, et al. «Comparison of three machine learning algorithms using google earth engine for land use land cover classification.» Range-land Ecology & Management 92 (2024): 129–137.
6. Salman, Nader A., et al. «Air pollution in the southern part of Iraq and its health risks.» Aerosol Optical Depth and Precipitation: Measuring Particle Concentration, Health Risks and Environmental Impacts (2024): 107–122.
7. Obaid, Nagham Mansour. «Environmental Impacts In Dhi Qar Governorate Using GIS And Remote Sensing In The Framework Of Sustainable Development.» Sustainable Development 18 (2024): 24–31.
8. Jabbar, Mushtak T., and Xinpeng Zhou. «Eco-environmental change detection by using remote sensing and GIS techniques: a case study Basrah province, south part of Iraq.» Environmental Earth Sciences 64 (2011): 1397–1407.
9. Al-Hakak, Zahra M. «Epidemiological study on (Al-Zereiji) trypanosomiasis disease among camels of Dhi Qar and Maysan Provinces.» AIP Conference Proceedings. Vol. 2834. No. 1. AIP Publishing, 2023.
10. Hassan, Wassan A., Ban S. Ismael, and Lina Hattab. «Study The Spread of Cancerous Diseases Throughout Iraq Using Geographic Information Systems (GIS).» Journal Port Science Research 6.special (2023): 62–66.
11. Al-Mosawi, Aamir Jalal. «The pattern of notifiable infectious diseases in Iraq.» Sch Int J Anat Physiol 4.9 (2021): 135–152.

فصلية تُعنى بالبحوث والدراسات الإنسانية والاجتماعية العدد (٧)

السنة الثالثة ذو القعدة ١٤٤٦ هـ آيار ٢٠٢٥ م

**Website address**  
**White Dome Magazine**  
**Republic of Iraq**  
**Bağdad / Bab Al-Muadham**  
**Opposite the Ministry of Health**  
**Department of Research and Studies**  
**Communications**  
**managing editor**  
**07739183761**  
**P.O. Box: 33001**  
**International standard number**  
**ISSN3005\_5830**  
**Deposit number**  
**In the House of Books and Documents (1127)**  
**For the year 2023**  
**e-mail**  
**Email**  
**off reserch@sed.gov.iq**  
**hus65in@gmail.com**





فصلية تُعنى بالبحوث والدراسات الإنسانية والاجتماعية العدد (٧)

السنة الثالثة ذو القعدة ١٤٤٦ هـ ٢٠٢٥ م آيار

***General supervision the professor***

***Alaa Abdul Hussein Al-Qassam***

***Director General of the***

***Research and Studies Department editor***

***a . Dr . Sami Hammoud Haj Jassim***

***managing editor***

***Hussein Ali Muhammad Hassan Al-Hassani***

***Editorial staff***

***Mr. Dr. Ali Attia Sharqi Al-Kaabi***

***Mr. Dr. Ali Abdul Kanno***

***Mother. Dr . Muslim Hussein Attia***

***Mother. Dr . Amer Dahi Salman***

***a . M . Dr. Arkan Rahim Jabr***

***a . M . Dr . Ahmed Abdel Khudair***

***a . M . Dr . Aqeel Abbas Al-Raikan***

***M . Dr . Aqeel Rahim Al-Saadi***

***M . Dr .. Nawzad Safarbakhsh***

***M . Dr . Tariq Odeh Mary***

***Editorial staff from outside Iraq***

***a . Dr . Maha, good for you Nasser***

***Lebanese University / Lebanon***

***a . Dr . Muhammad Khaqani***

***Isfahan University / Iran***

***a . Dr . Khawla Khamri***

***Mohamed Al Sharif University / Algeria***

***a . Dr . Nour al-Din Abu Lihia***

***Batna University / Faculty of Islamic Sciences / Algeria***

***Proofreading***

***a . M . Dr. Ali Abdel Wahab Abbas***

***Translation***

***Ali Kazem Chehayeb***